

МОСКОВСКИЙ ФИЗИКО-ТЕХНИЧЕСКИЙ ИНСТИТУТ
(НАЦИОНАЛЬНЫЙ ИССЛЕДОВАТЕЛЬСКИЙ УНИВЕРСИТЕТ)
ФИЗТЕХ-ШКОЛА АЭРОКОСМИЧЕСКИХ ТЕХНОЛОГИЙ

Отчет о выполнении лабораторной работы 1.1.4

Измерение интенсивности радиационного фона

Ефремова Татьяна, Б03-503

1 Аннотация

Цели работы: применение методов обработки экспериментальных данных для изучения статистических закономерностей при измерении интенсивности радиационного фона

2 Теоретические сведения

2.1 Радиационный фон

Космические лучи – это поток частиц, движущихся с высокими энергиями в космическом пространстве.

Основной величиной, характеризующей количество частиц в космических лучах, является интенсивность I . По определению интенсивность есть число частиц, падающих в единицу времени на единичную площадь, перпендикулярную к направлению наблюдения, отнесенное к единице телесного угла (стерадиану).

Количество падающих частиц в данной работе будет измеряться при помощи счетчика Гейгера-Мюллера (СТС-6). Он представляет собой наполненный газом сосуд с двумя электродами. Частицы космических лучей ионизируют газ, которым наполнен счетчик, а также выбивают электроны из его стенок. Образовавшиеся электроны, ускоряясь в сильном электрическом поле между электродами счетчика, соударяются с молекулами газа и выбивают из них новые вторичные электроны. Эти электроны ускоряются электрическим полем и затем ионизируют молекулы газа. В результате образуется целая лавина электронов, и через счетчик резко увеличивается ток. Регистрируется частица.

Поток космических частиц, составляющих значительную часть радиационного фона, изменяется со временем случайным образом. В таком случае характеристиками этой величины являются ее среднее значение и среднеквадратическое отклонение от него.

Среднее значения числа частиц, зарегистрированных счетчиком за время τ :

$$\bar{n} = \frac{1}{N} \sum_{i=1}^N n_i \quad (1)$$

Среднеквадратическая ошибка отдельного измерения:

$$\sigma_{\text{отд}} = \sqrt{\frac{1}{N} \sum_{i=1}^N (n_i - \bar{n})^2} \approx \sqrt{\bar{n}}, \quad (2)$$

где N – количество измерений, n_i – число срабатываний счетчика за i -тый отрезок времени τ .

Тогда относительная ошибка отдельного измерения:

$$\mathcal{E}_{\text{отд}} = \frac{\sigma_{\text{отд}}}{n_i} \approx \frac{1}{\sqrt{n_i}}, \quad (3)$$

Относительная ошибка в определении среднего \bar{n} :

$$\mathcal{E}_{\bar{n}} = \frac{\sigma_{\bar{n}}}{\bar{n}} = \frac{\sigma_{\text{отд}}}{\bar{n}\sqrt{N}} \approx \frac{1}{\sqrt{\bar{n}N}}. \quad (4)$$

2.2 Распределение Пуассона

Если события происходят с некоторой фиксированной средней интенсивностью, и каждое следующее событие не зависит от предыдущего, то последовательность таких событий называют пуассоновским процессом. Распределение Пуассона описывает вероятность того, что в фиксированном интервале пуассоновского процесса произойдет определенное количество событий.

Так, вероятность того, что за отрезок времени τ будет зарегистрировано n частиц:

$$P_n = \frac{n^n}{n!} e^{-n_0} \quad (5)$$

3 Используемое оборудование

Счетчик Гейгера-Мюллера (СТС-6), блок питания, компьютер с интерфейсом связи со счетчиком.

4 Результаты измерений и обработка данных

В данном эксперименте будут обработаны данные для 4x времен: $\tau = 10$ с, $\tau = 20$ с, $\tau = 40$ с, $\tau = 80$ с. Сперва проведем наглядно обработку данных для $\tau = 10$ с.

Таблица 1: Число срабатываний счетчика за $\tau = 20$ с

| № опыта | 1 | 2 | 3 | 4 | 5 | 6 | 7 | 8 | 9 | 10 |
|---------|----|----|----|----|----|----|----|----|----|----|
| 0 | 13 | 24 | 15 | 14 | 27 | 20 | 21 | 15 | 20 | 18 |
| 10 | 24 | 18 | 17 | 15 | 14 | 20 | 20 | 23 | 24 | 40 |
| 20 | 14 | 25 | 19 | 21 | 16 | 26 | 16 | 22 | 24 | 21 |
| 30 | 19 | 15 | 19 | 24 | 26 | 19 | 17 | 21 | 15 | 17 |
| 40 | 22 | 27 | 15 | 22 | 20 | 19 | 24 | 19 | 20 | 24 |
| 50 | 18 | 17 | 10 | 18 | 29 | 29 | 26 | 32 | 28 | 16 |
| 60 | 20 | 27 | 26 | 19 | 13 | 15 | 15 | 24 | 17 | 18 |
| 70 | 20 | 27 | 19 | 30 | 20 | 23 | 20 | 26 | 15 | 14 |
| 80 | 19 | 25 | 27 | 19 | 15 | 21 | 36 | 26 | 14 | 18 |
| 90 | 15 | 21 | 19 | 15 | 20 | 19 | 13 | 23 | 18 | 20 |
| 100 | 23 | 27 | 18 | 16 | 18 | 18 | 17 | 16 | 24 | 17 |
| 110 | 18 | 16 | 25 | 18 | 15 | 17 | 25 | 21 | 13 | 21 |
| 120 | 13 | 23 | 24 | 22 | 9 | 20 | 17 | 27 | 21 | 18 |
| 130 | 20 | 15 | 16 | 23 | 20 | 19 | 19 | 16 | 12 | 17 |
| 140 | 16 | 18 | 21 | 16 | 15 | 30 | 22 | 21 | 29 | 17 |
| 150 | 20 | 15 | 14 | 13 | 22 | 15 | 12 | 18 | 27 | 20 |
| 160 | 15 | 14 | 19 | 10 | 18 | 21 | 22 | 18 | 27 | 16 |
| 170 | 10 | 15 | 19 | 22 | 21 | 19 | 22 | 15 | 21 | 17 |
| 180 | 19 | 14 | 23 | 16 | 15 | 26 | 16 | 16 | 24 | 15 |
| 190 | 19 | 16 | 18 | 19 | 24 | 17 | 21 | 24 | 16 | 33 |

Таблица 2: Данные для построения гистограммы при $\tau = 20$ с

| n | 3 | 4 | 5 | 6 | 7 | 8 | 9 | 10 | 11 | 12 | 13 |
|--------------------|-------|-------|-------|-------|-------|-------|-------|-------|-------|-------|-------|
| Число случаев | 3 | 1 | 5 | 12 | 11 | 21 | 31 | 33 | 43 | 39 | 43 |
| Доля случаев w_n | 0.007 | 0.003 | 0.013 | 0.030 | 0.028 | 0.052 | 0.077 | 0.083 | 0.107 | 0.098 | 0.107 |
| P_n | 0.001 | 0.004 | 0.009 | 0.019 | 0.034 | 0.053 | 0.074 | 0.094 | 0.107 | 0.113 | 0.109 |
| n | 14 | 15 | 16 | 17 | 18 | 19 | 20 | 21 | 22 | 23 | 24 |
| Число случаев | 42 | 33 | 20 | 24 | 13 | 9 | 7 | 6 | 1 | 1 | 1 |
| Доля случаев w_n | 0.105 | 0.083 | 0.050 | 0.060 | 0.033 | 0.022 | 0.018 | 0.015 | 0.003 | 0.003 | 0.003 |
| P_n | 0.098 | 0.083 | 0.065 | 0.048 | 0.034 | 0.022 | 0.014 | 0.008 | 0.005 | 0.003 | 0.001 |

Используя полученные данные, можно построить гистограмму вероятностей регистрации n частиц и сравнить ее с распределением Пуассона для данного отрезка времени.

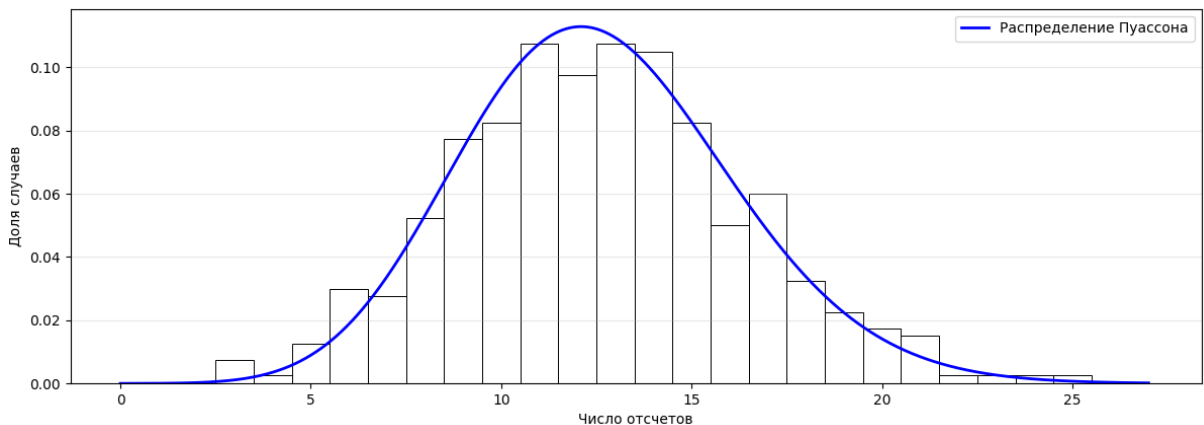


Рис. 1: Гистограмма для $\tau = 10$ с

Аналогично проводится обработка полученных данных для $\tau = 20$ с, $\tau = 40$ с и $\tau = 80$ с.

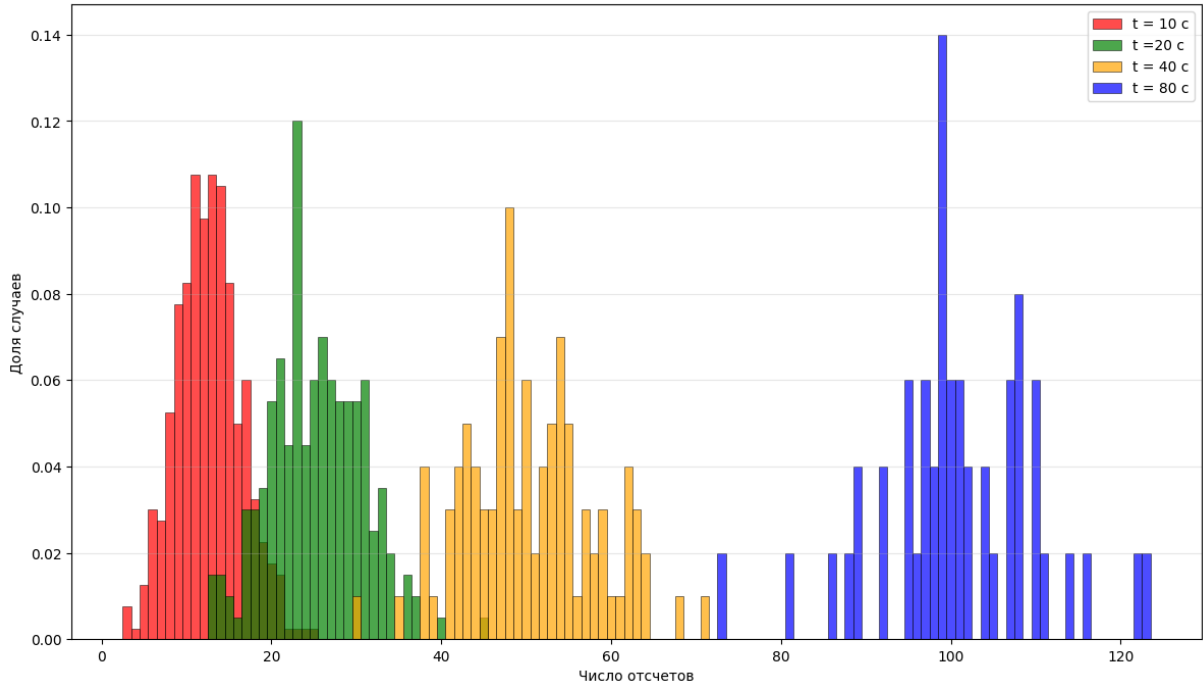


Рис. 2: Сравнение гистограмм для $\tau = 10$ с, $\tau = 20$ с, $\tau = 40$ с и $\tau = 80$ с

Вычислим среднее число срабатываний счетчика за 10, 20, 40 и 80 секунд.

$$\begin{aligned} \bar{n}_{10} &= \frac{1}{400} \sum_{i=1}^{400} n_i \approx 12.6 \\ \bar{n}_{20} &= \frac{1}{200} \sum_{i=1}^{200} n_i \approx 25.2 \\ \bar{n}_{40} &= \frac{1}{100} \sum_{i=1}^{100} n_i \approx 50.4 \\ \bar{n}_{80} &= \frac{1}{50} \sum_{i=1}^{50} n_i \approx 100.8 \end{aligned}$$

Вычислим среднеквадратическую погрешность измерений для каждого отрезка времени:

$$\begin{aligned} \sigma_{n_{10}} &= \sqrt{\frac{1}{400} \sum_{i=1}^{400} (n_i - \bar{n})^2} \approx 3.5 \\ \sigma_{n_{20}} &= \sqrt{\frac{1}{200} \sum_{i=1}^{200} (n_i - \bar{n})^2} \approx 5.0 \\ \sigma_{n_{40}} &= \sqrt{\frac{1}{100} \sum_{i=1}^{100} (n_i - \bar{n})^2} \approx 7.1 \\ \sigma_{n_{80}} &= \sqrt{\frac{1}{50} \sum_{i=1}^{50} (n_i - \bar{n})^2} \approx 10.0 \end{aligned}$$

Вычислим среднеквадратическое отклонение по свойству процесса Пуассона и сравним со стандартной:

$$\begin{aligned} \sigma_{n_{10}} &= \sqrt{n_{10}} \approx 3.5 \\ \sigma_{n_{20}} &= \sqrt{n_{20}} \approx 5.0 \\ \sigma_{n_{40}} &= \sqrt{n_{40}} \approx 7.1 \\ \sigma_{n_{80}} &= \sqrt{n_{80}} \approx 10.0 \end{aligned}$$

Рассчитаем относительные погрешности:

$$\begin{aligned} \mathcal{E}_{n_{10}} &= \frac{100\%}{\sqrt{n_{10} \cdot 400}} \approx 1,4\% \\ \mathcal{E}_{n_{20}} &= \frac{100\%}{\sqrt{n_{20} \cdot 200}} \approx 1,4\% \\ \mathcal{E}_{n_{40}} &= \frac{100\%}{\sqrt{n_{40} \cdot 100}} \approx 1,4\% \\ \mathcal{E}_{n_{80}} &= \frac{100\%}{\sqrt{n_{80} \cdot 50}} \approx 1,4\% \end{aligned}$$

Окончательный результат:

$$\begin{aligned}n_{\tau=10} &= 12,6 \pm 3.5 \\n_{\tau=20} &= 25.2 \pm 5.0 \\n_{\tau=40} &= 50.4 \pm 7.1 \\n_{\tau=80} &= 100.8 \pm 10.0\end{aligned}$$

Для каждого τ вычислим среднюю интенсивность регистрируемых частиц $\bar{j} = \frac{\bar{n}}{\tau}$ в секунду:

$$\begin{aligned}i_{\tau=10} &= 1.26 \pm 0.35 \\i_{\tau=20} &= 1.26 \pm 0,35 \\i_{\tau=40} &= 1.26 \pm 0,35 \\i_{\tau=80} &= 1.26 \pm 0,35\end{aligned}$$

5 Выводы

В ходе работы познакомилась с основными понятиями статистики. Определила среднее чмсло регистрируемых космических лучей в секунду и погрешность полученного результата. Выяснила, что средняя интенсивность регистрируемых частиц не зависит от величины интервала τ и числа точек N .